

## Appendice B - Grafici complementari dei dati della fase di analisi

9 giugno 2020

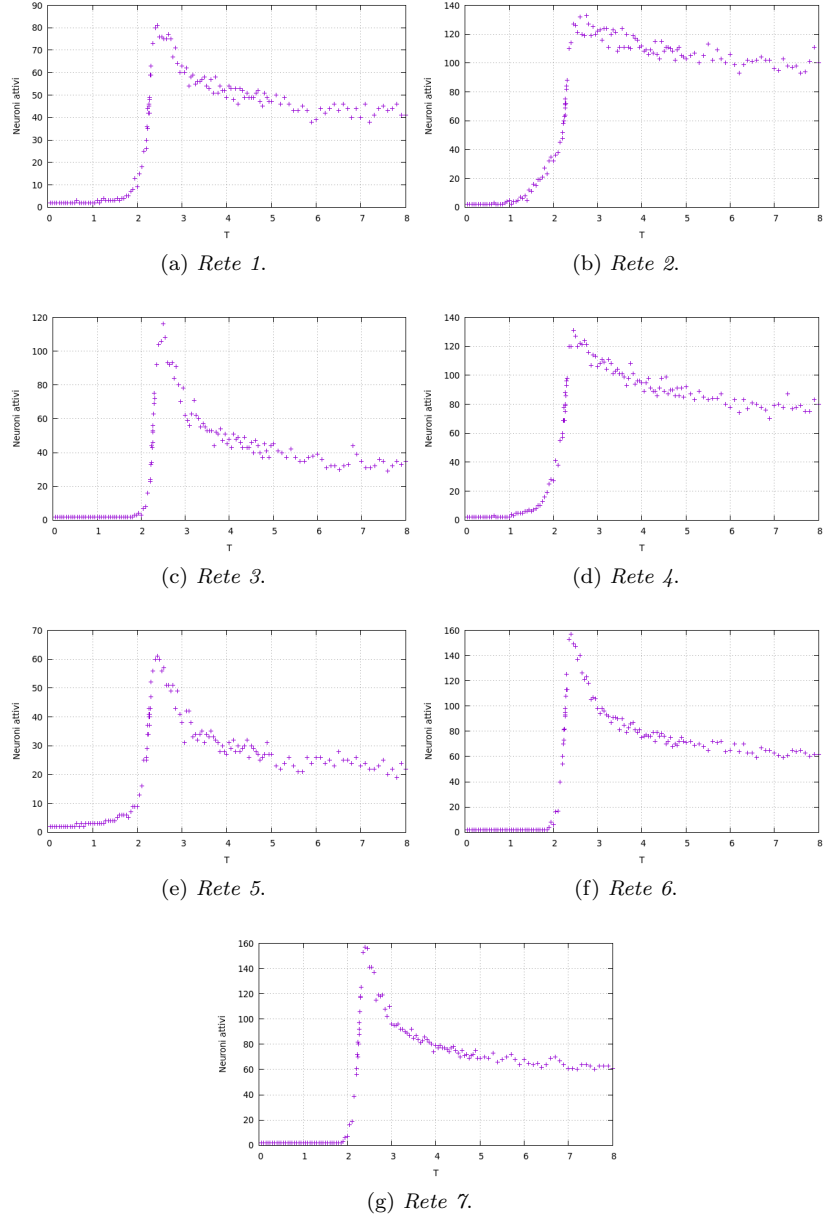
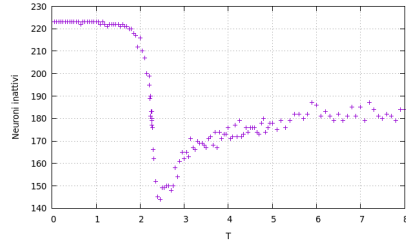
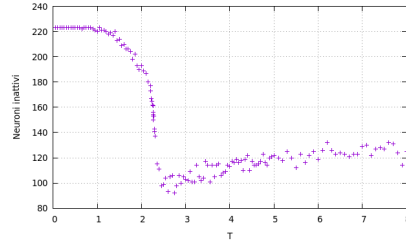


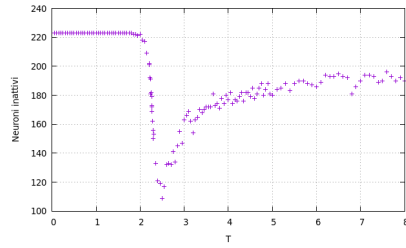
Figura 1: Andamento del numero di neuroni attivi nell'intervallo di temperatura  $[0, 8]$



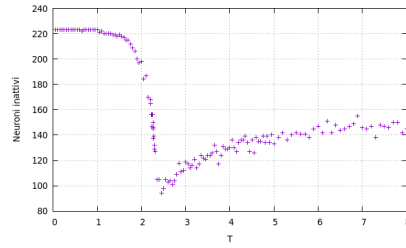
(a) Rete 1.



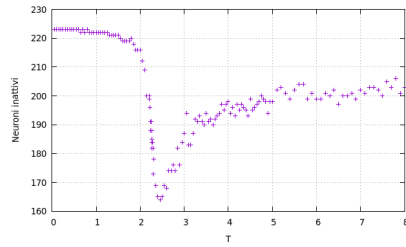
(b) Rete 2.



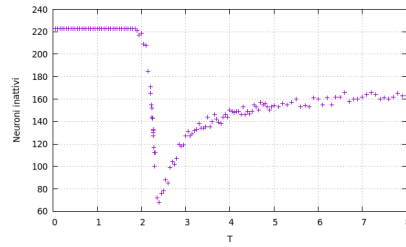
(c) Rete 3.



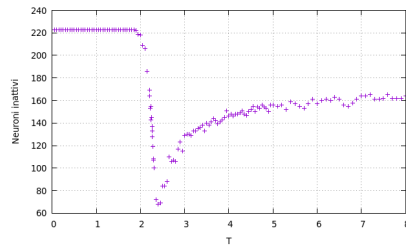
(d) Rete 4.



(e) Rete 5.



(f) Rete 6.



(g) Rete 7.

Figura 2: Andamento del numero di neuroni inattivi nell'intervallo di temperatura  $[0, 8]$

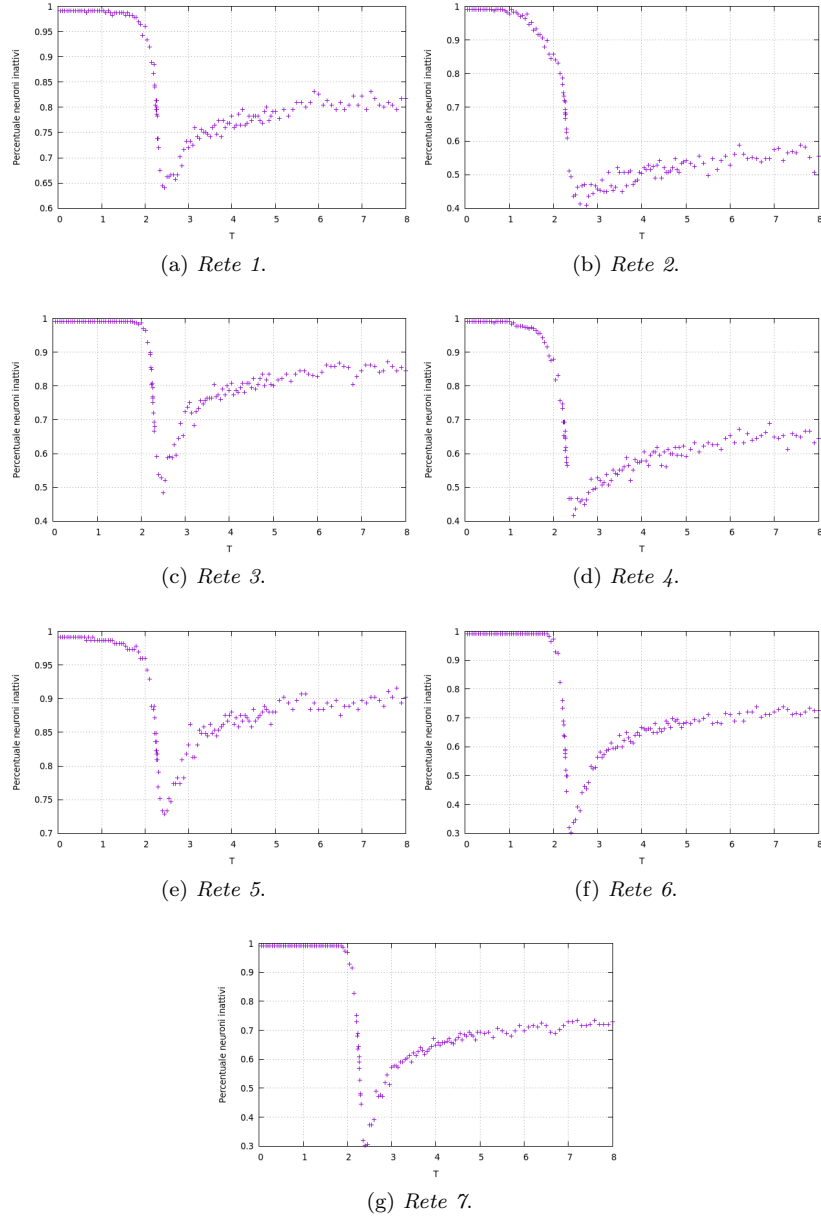


Figura 3: Andamento della percentuale di neuroni inattivi nell'intervallo di temperatura  $[0, 8]$

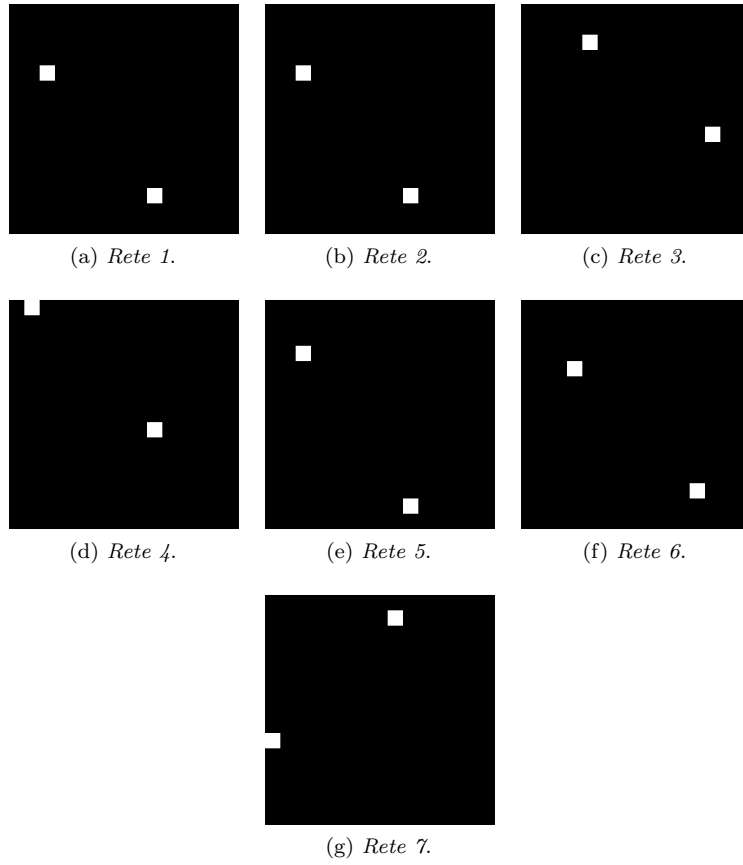


Figura 4: Rappresentazione tipica dell'attività neurale in fase ferromagnetica(in particolare ( $T = 1$ )): il nero rappresenta il tessuto inattivo, il bianco i nodi attivi

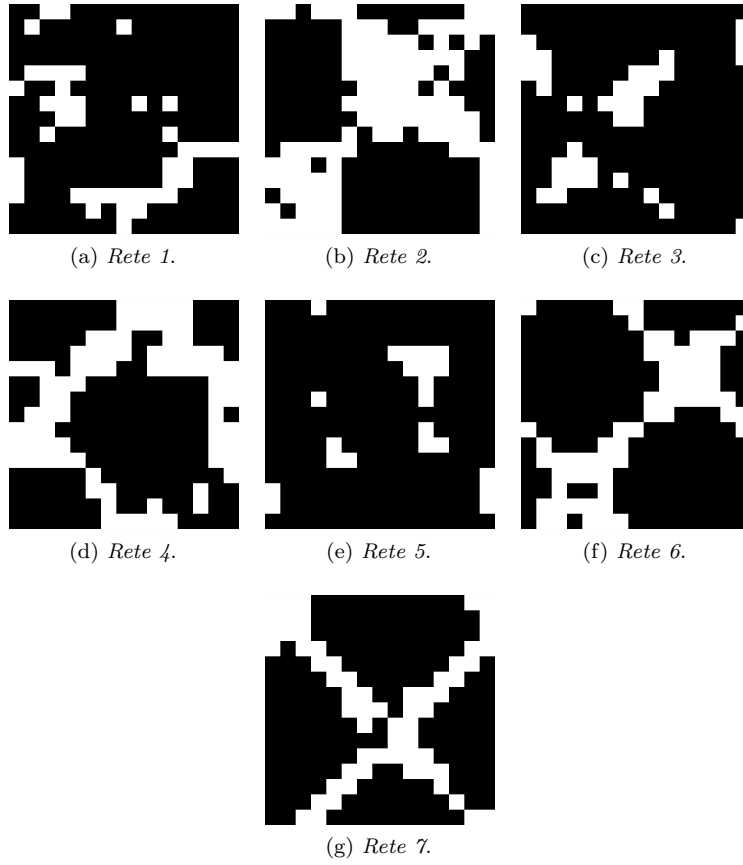


Figura 5: Rappresentazione tipica dell'attività neurale in fase paramagnetica(in particolare ( $T = 8$ )): il nero rappresenta il tessuto inattivo, il bianco i nodi attivi